

менениями, вызванными тепловым действием излучения, происходят изменения, связанные с некоторыми нарушениями кристаллической структуры по нетепловому механизму. Отметим, что излучение  $\text{CO}_2$ -лазера резонансно возбуждает высокочастотные колебания кристаллических решеток  $\text{V}_{2}\text{O}_5$  и  $\text{MoO}_3$ , связанные с преимущественной деформацией такой связи  $\text{Me}-\text{O}$ , которая разрушается при образовании вакансии по кислороду. Поэтому можно предположить, что при облучении в области вакансий образуются устойчивые искажения решетки, которые вызывают наблюдаемое размытие края поглощения.

## Л и т е р а т у р а

- [1] Манухин А.В., Плаксин О.А., Степанов В.А. – Изв. вузов, Черная металлургия, 1987, № 9, с. 71–75.
- [2] Гаврилюк А.И., Рейнов Н.М., Чудновский Ф.А. – Письма в ЖТФ, 1979, т. 5, в. 20, с. 1227–1230.
- [3] Волженский Д.С., Пашковский М.В., Прокопчук Л.Ф. – Неорганические материалы, 1974, т. 10, № 1, с. 165–166.

Московский институт  
стали и сплавов

Поступило в Редакцию  
31 марта 1988 г.

Письма в ЖТФ, том 14, вып. 16

26 августа 1988 г.

ВРЕМЯ КОРРЕЛЯЦИИ И ЭНТРОПИЯ ХАОСА  
ПРИ ОБРАТНЫХ БИФУРКАЦИЯХ УДВОЕНИЯ ПЕРИОДА

В.С. Анищенко, М.А. Сафонова

Статистические свойства динамической системы можно анализировать по зависимости автокорреляционной функции (АКФ)  $\psi(\tau)$  от времени  $\tau$ . Для хаотических аттракторов АКФ во времени стремится к нулю. В режимах развитой стохастичности АКФ убывает экспоненциально, свидетельствуя о близости системы к конечной цепи Маркова [1]. Показатель экспоненты связывается со временем корреляции  $\tau_k$ , которое должно зависеть от степени перемешивания. Для гиперболических систем  $\tau_k$  обратно пропорционально КС-энтропии [2, 3] и может быть оценено как

$$\tau_k = \left[ \sum_{i=1}^L \lambda_i^{-1} \right]^{-1}, \quad (1)$$

где  $\lambda_1^+$  - положительные ляпуновские показатели хаотической траектории.

Существует ли и какова взаимосвязь времени корреляции  $\tau_k$  с КС-энтропией хаотических аттракторов в динамических системах с квазигиперболическими свойствами? Можно привести ряд примеров, свидетельствующих об отсутствии зависимости (1) применительно к квазиаттракторам. Как следует, например, из [4], при близких по величине значениях КС-энтропии времена корреляции могут существенно отличаться.

В настоящей работе исследуется взаимосвязь времени корреляции  $\tau_k$  и величины положительного показателя  $\lambda^+$  аттракторов отображения Хенона [5] при бифуркациях связности [6]. Отображение Хенона

$$x_{n+1} = 1 - ax_n^2 + y_n, \quad y_{n+1} = bx_n \quad (2)$$

типичная квазигиперболическая система с аттрактором Фейгенбаума. Огибающая зависимости  $\lambda^+(a)$  удовлетворяет универсальному закону

$$\lambda^+ = c(a - a^*)^\gamma, \quad \gamma = \ln 2 / \ln 4.669..., \quad (3)$$

в котором для  $b=0.3$   $a^*=1.058$ ,  $c=0.836$ . Зависимость (3) хорошо подтверждается экспериментально до значений  $a \leq 1.16$ .

Если предположить, что время корреляции  $\tau_k(a)$ , то соотношение (3) определит зависимость  $\tau_k(a)$ , представленную на рисунке сплошной кривой. Кружочками указаны результаты прямых вычислений  $[\lambda^+(a)]^{-1}$ . Расчеты зависимости АКФ от параметра  $a$  привели к явному несоответствию результатов с предполагаемыми. Вплоть до значений  $a \leq 1.155$  (до момента рождения развитой одиноактной ленты аттрактора) АКФ остается близкой к периодической, и огибающая к нулю не стремится. Это явление обусловлено сложностью дискретной последовательности  $\{x_n\}$ , содержащей как периодические, так и хаотические компоненты движения. Аттрактор, представляющий собой множество непересекающихся хаотических зон, можно описать суперпозицией периодических колебаний (между зонами) и шума [7]:

$$x_n = \sum_{y=1}^p A_y \exp[j\omega_y n] + \xi_n. \quad (4)$$

Следствием (4) будет характер распределения спектральной плотности мощности, содержащей  $\delta$ -выбросы на частотах  $\omega_y$  на фоне сплошного спектра шума. По теореме Винера-Хинчина АКФ

$$\varphi_x(\tau) = \lim_{k \rightarrow \infty} \frac{1}{k} \sum_{n=1}^k [x_n - \bar{x}] [x_{n+\tau} - \bar{x}] \quad (5)$$

будет представлять собой суперпозицию периодических и  $\delta$ -коррелированных компонент.

Воспользуемся процедурой исключения периодических компонент движения и выясним характер взаимосвязи  $\psi_x(\tau)$  с КС-энтропией ( $\lambda^+$ ) применительно к отдельным хаотическим зонам аттрактора [7, 8]. Для этого в зависимости от тектности ленты аттрактора статистической обработке будем подвергать последовательность точек, принадлежащих конкретной хаотической зоне. К примеру, в случае двухтактной ленты в память ЭВМ нужно набирать последовательность из каждой второй точки итерации исходного отображения (2).

Результаты расчетов представлены на рисунке. Значения  $\tau_k$  (показаны крестиками) вычислялись в функции параметра  $a$  с учетом последовательности бифуркаций связности. Зависимость  $\tau_k(a)$  имеет резкие выбросы в точках  $a$ , близких к 1.064, 1.088 и 1.155, в которых  $\tau_k$  резко возрастает. В промежутках между выбросами  $\tau_k$  экспоненциально спадает, стремясь к аппроксимирующей зависимости  $\tilde{\tau}_k = (\lambda^+)^{-1}$  (сплошная кривая). Установлено, что зависимость  $\tau_k(a)$  имеет разрывы строго в точках бифуркаций связности, где происходит объединение хаотических зон аттрактора.

В промежутках между точками бифуркаций связности время корреляции с высокой степенью точности аппроксимируется универсальными зависимостями

$$\tau_k = c_i (a - a_i^*)^{-\beta}, \quad (6)$$

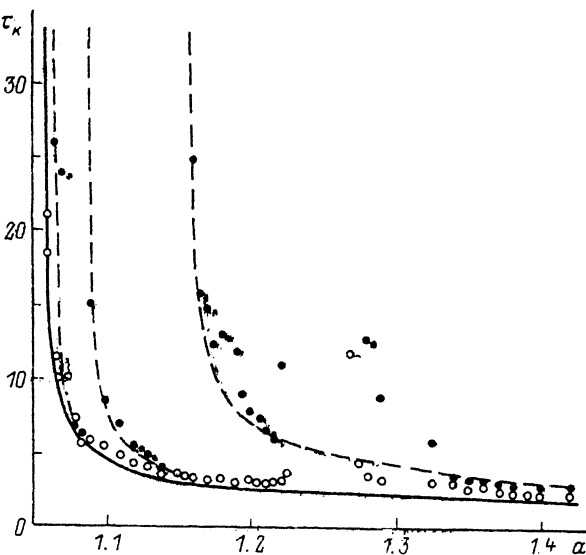
где  $a_i^*$  — критические точки бифуркаций связности,  $c_i$  — соответствующие константы. Расчеты показали, что для восьмитактной, четырехтактной и двухтактной лент аттрактора эти параметры имеют следующие значения:  $a_8^* = 1.064$ ,  $c_8 = 1.04$ ;  $a_4^* = 1.088$ ,  $c_4 = 1.07$ ;  $a_2^* = 1.155$ ,  $c_2 = 1.79$ . Аппроксимирующие зависимости (6) нанесены на графиках рисунка пунктирными линиями и подтверждают сказанное выше.

Полученные результаты интересны с нескольких точек зрения.

1. Можно утверждать, что внутренние бифуркации аттракторов оказывают принципиальное влияние на статистические свойства хаоса, которые определяются не только и не столько КС-энтропией, сколько рождением (исчезновением) периодических компонент движения. Время корреляции резко возрастает в точках бифуркаций связности.

2. Внутри хаотических зон аттрактора время корреляции универсальным образом (6) зависит от параметра.

3. В окрестности точек бифуркаций связности имеет место типичная картина в распределении энергии по спектру, отражающая появление низкочастотных компонент, характерных для фликкер-шума. Причиной является резкое увеличение длительности корреляций [9, 10].



Зависимости времени корреляции от параметра  $\alpha$  отображения (2) для  $b=0.3$ . Отклонения экспериментальных данных от теоретических аппроксимаций связаны с наличием окон устойчивости периодических режимов.

Отметим также два обстоятельства. Первое: добавление малого аддитивного шума в отображение Хенона (2) не меняет качественно установленных закономерностей. Отличия проявляются в том, что входящие в (6) величины оказываются зависящими от интенсивности шума (включая критический индекс  $\gamma$ !). И второе: полученные при численном анализе модели Хенона результаты полностью подтверждаются при исследовании ряда трехмерных дифференциальных систем с атTRACTорами Фейгенбаума. Можно сделать вывод об универсальности выявленных закономерностей применительно к квазигиперболическим атTRACTорам седло-фокусного типа, возникающим через каскад субгармонических бифуркаций.

#### Л и т е р а т у р а

- [1] Синай Я.Г. В кн.: Нелинейные волны. М.: Наука, 1979, с. 192–211.
- [2] Колмогоров А.Н. – ДАН СССР, 1959, т. 124, № 4, с. 754–755.
- [3] Заславский Г.М. Стохастичность динамических систем, М.: Наука, 1974. 272 с.

- [4] Анищенко В.С. Стохастические колебания в радиофизических системах. Саратов: Изд-во Сарат. ун-та, 1986, часть 2. 197 с.
- [5] Хенон М. - Commun. Math. Phys., 1976, v. 50, p. 69-77.
- [6] Анищенко В.С., Сафонова М.А. - ЖТФ, 1988, т. 58, в. 4, с. 641-651.
- [7] Лихтенберг А., Либерман М. Регулярная и стохастическая динамика. М.: Мир, 1984. 528 с.
- [8] Herzfel N.P., Ebeling W. - Phys. Lett., 1985, v. 111A, N 1-2, p. 1-4.
- [9] Пиковский А.С. - Изв. вузов. Радиофизика, 1986, т. 29, № 12, с. 1438-1446.
- [10] Анищенко В.С., Нейман А.Б. - Письма в ЖТФ, 1987, т. 13, в. 17, с. 1063-1066.

Саратовский государственный  
университет им. Н.Г. Чернышевского

Поступило в Редакцию  
25 апреля 1988 г.

Письма в ЖТФ, том 14, вып. 16

26 августа 1988 г.

## ВЛИЯНИЕ ДЛИТЕЛЬНОСТИ СВЕТОВОГО ИМПУЛЬСА НА АНИЗОТРОПНОЕ ЛОКАЛЬНОЕ ПЛАВЛЕНИЕ КРЕМНИЯ

Я.В. Фаттахов, И.Б. Хайбуллин,  
Р.М. Баязитов, Е.М. Мисюрёв

В последние годы ведутся интенсивные исследования интересного физического эффекта - локального анизотропного плавления поверхности полупроводников, которое удается наблюдать при определенных режимах облучения мощными импульсами когерентного и некогерентного света [1-6]. Однако, несмотря на довольно большое количество работ, до сих пор нет полной ясности в понимании механизма возникновения этого важного эффекта и его основных закономерностей. В связи с этим, в настоящей работе впервые проведены систематизированные экспериментальные исследования влияния длительности светового импульса, удельного сопротивления, типа проводимости и ориентации полупроводника на плотность и размеры локальных областей плавления (ЛОП), и на этой основе предлагается возможный механизм формирования ЛОП.

Импульсное световое облучение полупроводниковых пластин в режиме образования ЛОП проводилось на установке УОЛ.П-1 излучением трех ксеноновых ламп-вспышек ИНП-16/250А, работающих в квазинепрерывном режиме. Мощность, подводимая к лампам, плавно регулировалась путем изменения длительности подключенного состояния ламп к питающей сети ( $\Delta t$ ) в течение полупериода светового напряжения. Общая длительность импульса светового облучения